



ALI et rétroaction

Exercices

Exercice 1 : Montage dérivateur

[💡 1 | ✂ 1 | ⊕]

Il n'y a qu'une rétroaction négative, donc l'ALI fonctionne probablement en régime linéaire. La présence du condensateur incite à travailler en complexes. Les deux tensions intéressantes s et e sont aux extrémités des branches, on utilise donc la loi des nœuds en termes de potentiel à l'entrée \ominus de l'ALI :

$$\frac{E - V_-}{1/jC\omega} + \frac{S - V_-}{R} = 0.$$

Comme le fonctionnement est linéaire, alors $V_- = V_+ = 0$ donc

$$jC\omega E + \frac{S}{R} = 0 \quad \text{d'où} \quad \boxed{S = -jRC\omega E},$$

ce qui donne dans le domaine temporel

$$\boxed{s = -RC \frac{de}{dt} .}$$

Exercice 2 : Montage sommateur

[💡 1 | ✂ 1 | ⊕]

La seule rétroaction est négative, on peut donc supposer que l'ALI fonctionne en régime linéaire.

D'après la loi des nœuds en termes de potentiel, en notant i_1 et i_2 les courants dans les branches d'entrée soumises à v_1 et v_2 ,

$$i_1 + i_2 = 0 \quad \text{soit} \quad \frac{v_1 - v_+}{R} + \frac{v_2 - v_+}{R} = 0 \quad \text{d'où} \quad v_+ = \frac{v_1 + v_2}{2} .$$

Notons v_- le potentiel de l'entrée inverseuse, égal à la tension aux bornes de la résistance représentée verticalement. Les deux résistances de la branche du bas sont parcourues par le même courant, donc

$$\frac{v_-}{v_s} = \frac{R}{R + R} \quad \text{soit} \quad v_s = 2v_- .$$

Enfin, comme l'ALI fonctionne de régime linéaire alors $v_+ = v_-$ d'où

$$\boxed{v_s = v_1 + v_2 .}$$

Le point important de l'exercice est le choix de la méthode pour exprimer les potentiels. Sur la branche du haut, l'entrée intéressante \oplus est à une extrémité de la branche d'où le choix de la loi des nœuds, alors que sur la branche du bas l'entrée intéressante \ominus est au centre de la branche, d'où l'intérêt du pont diviseur.

Exercice 3 : Intégrateur différentiel

[💡 1 | ✂ 2]

La seule rétroaction est négative, on peut donc supposer le régime linéaire. En notation complexe, la loi des nœuds à l'entrée \ominus donne

$$\frac{E_1 - V_-}{R} + \frac{S - V_-}{1/jC\omega} = 0$$

Un pont diviseur de tension dans la branche du bas donne

$$\frac{V_+}{E_2} = \frac{1/jC\omega}{R + 1/jC\omega} = \frac{1}{1 + jRC\omega}$$

Or en fonctionnement linéaire on a

$$\underline{V}_- = \underline{V}_+ = \frac{1}{1 + jRC\omega} E_2.$$

En fusionnant les deux équations,

$$\frac{E_1}{R} - \frac{1}{R(1 + jRC\omega)} E_2 + jC\omega \underline{S} - \frac{jC\omega}{1 + jRC\omega} E_2 = 0$$

soit

$$\frac{E_1}{jRC\omega} - \frac{1}{jRC\omega(1 + jRC\omega)} E_2 + \underline{S} - \frac{1}{1 + jRC\omega} E_2 = 0$$

et ainsi

$$\underline{S} = -\frac{E_1}{jRC\omega} + \frac{E_2}{jRC\omega} \left(\frac{1}{1 + jRC\omega} + \frac{jRC\omega}{1 + jRC\omega} \right)$$

ce qui donne au final

$$\underline{S} = \frac{1}{jRC\omega} (E_2 - E_1).$$

On utilise la correspondance habituelle pour passer dans le domaine temporel,

$$s(t) = s(0) + \frac{1}{RC} \int_0^t (e_2 - e_1) dt.$$

Exercice 4 : Comparateur à hystérésis inverseur décalé

[💡 2 | ✂ 1 | ⊕]

Les notations sont celles de la figure 1.

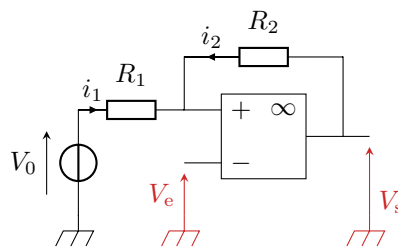


Figure 1 – Notations pour l'étude du comparateur à hystérésis inverseur décalé.

1 On applique la loi des nœuds en termes de potentiel à l'entrée \oplus ,

$$i_1 + i_2 = 0 \quad \text{soit} \quad \frac{V_0 - V_+}{R_1} + \frac{V_s - V_+}{R_2} = 0$$

d'où on déduit

$$\frac{V_0}{R_1} + \frac{V_s}{R_2} = \left(\frac{1}{R_1} + \frac{1}{R_2} \right) V_+$$

soit en multipliant l'équation par $R_1 R_2$

$$(R_2 + R_1)V_+ = R_2 V_0 + R_1 V_s$$

et enfin

$$V_+ = \frac{R_1}{R_1 + R_2} V_s + \frac{R_2}{R_1 + R_2} V_0 \quad \text{soit} \quad \boxed{V_+ = \beta V_s + (1 - \beta) V_0.}$$

2 La seule rétroaction est positive, l'ALI fonctionne donc nécessairement en régime de saturation.

• **Bascule haut** → **bas** : supposons l'ALI en saturation haute, $V_s = +V_{\text{sat}}$. Il demeure dans cet état tant que $\varepsilon = V_+ - V_- > 0$. Comme $V_- = V_e$, cela donne $V_e < V_+$ soit

$$\boxed{V_e < \beta V_{\text{sat}} + (1 - \beta) V_0 = 9 \text{ V}.}$$

• **Bascule bas** → **haut** : supposons maintenant l'ALI en saturation basse, $V_s = -V_{\text{sat}}$. Il y reste tant que $V_e > V_+$, soit

$$\boxed{V_e > -\beta V_{\text{sat}} + (1 - \beta) V_0 = -1 \text{ V}.}$$

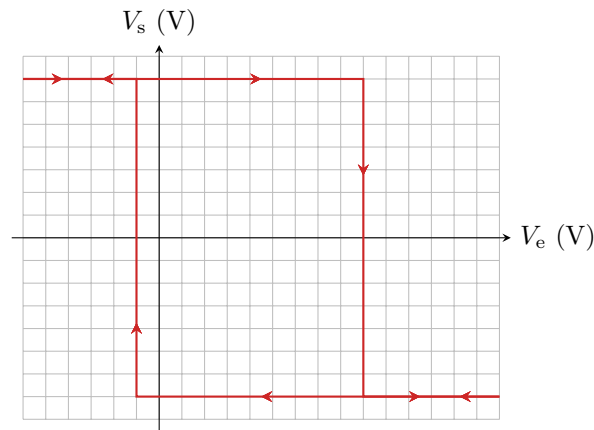


Figure 2 – Cycle du comparateur à hystérésis inverseur décalé.

3 Voir figure 2. Les tensions de basculement dépendent de l'état du système, il s'agit donc bien d'un comparateur à hystérésis. Il est qualifié d'« inverseur » car une entrée négative le place en saturation positive et réciproquement, et de « décalé » car son cycle n'est pas symétrique par rapport à $V_e = 0$ mais par rapport à $V_e = (1 - \beta)V_0 = 4\text{ V}$.

4 Initialement la tension d'entrée est supérieure aux deux tensions de bascule donc la saturation est forcément négative. On repère ensuite les instants où la tension d'entrée devient inférieure à la tension de basculement basse en décroissant ou supérieure à la tension de basculement haute en croissant, et on en déduit le chronogramme de la tension de sortie figure 3.

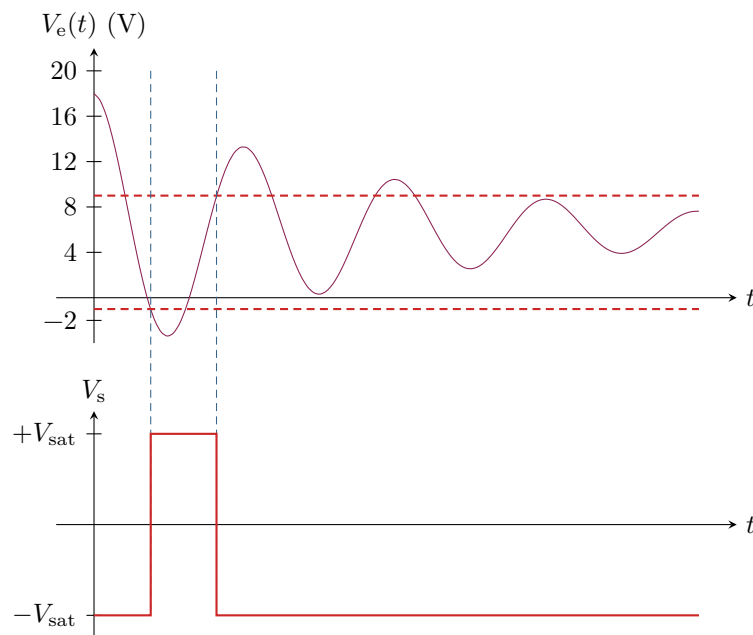


Figure 3 – Construction de la tension de sortie connaissant la tension d'entrée.

Exercice 5 : Simulateur d'inductance

[💡 2 | ✂ 2]

On utilise les notations de la figure 4. D'après la loi des nœuds,

$$\underline{I} = \underline{I}_1 + \underline{I}_2 + \underline{I}_3$$

La résistance $-R_N$ est directement soumise à la tension \underline{U} , donc

$$\underline{I}_1 = -\frac{\underline{U}}{R_N}.$$

De plus, comme l'ALI est en régime linéaire alors $V_- = V_+ = 0$ et on en déduit

$$\underline{I}_3 = \frac{\underline{U}}{R}$$

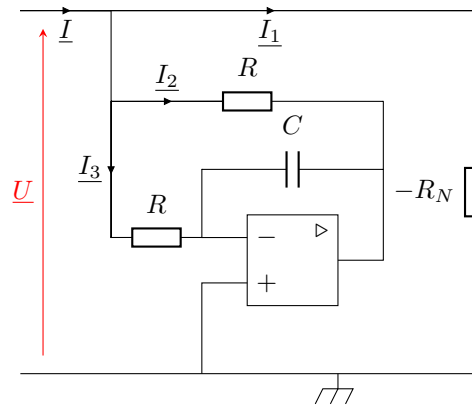


Figure 4 – Notations pour l'étude du simulateur d'inductance.

car la résistance se trouve directement soumise à la tension \underline{U} elle aussi. Enfin, pour exprimer \underline{I}_2 , on applique la loi des mailles aux deux branches « R » et « RC »,

$$R\underline{I}_2 = R\underline{I}_3 + \frac{\underline{I}_3}{jC\omega} \quad \text{d'où} \quad \underline{I}_2 = \frac{\underline{U}}{R} \left(1 + \frac{1}{jRC\omega} \right).$$

On en déduit donc

$$\underline{I} = -\frac{\underline{U}}{R_N} + \frac{\underline{U}}{R} \left(1 + \frac{1}{jRC\omega} \right) + \frac{\underline{U}}{R}$$

d'où

$$\underline{Y} = \frac{\underline{I}}{\underline{U}} = \frac{2}{R} + \frac{1}{jR^2C\omega} - \frac{1}{R_N}.$$

Contrairement à la majorité des exercices avec ALI, exprimer la tension de sortie n'a aucun intérêt ici, voire est contre-productif car cela introduit une inconnue supplémentaire dans les calculs.

1 Une inductance pure a une admittance complexe $\underline{Y}_L = 1/jL\omega$: l'admittance d'entrée du montage prend une telle forme pour $R_N = R/2$, et auquel cas

$$L_{\text{éq}} = R^2 C.$$

Exercice 6 : Oscillateur à résistance négative

[💡 2 | ⚡ 1 | ⓧ]

1 Il y a une double rétroaction sur les entrées \oplus et \ominus , ce qui rend possible (mais pas certain) un fonctionnement linéaire.

2 En raisonnant sur la boucle de rétroaction négative,

$$v_s = u - R_N i$$

avec v_s le potentiel de sortie de l'ALI. Par ailleurs, dans la boucle de rétroaction positive, les deux résistances R forment un pont diviseur de tension, donc

$$\frac{v_+}{v_s} = \frac{u}{v_s} = \frac{R}{R+R} = \frac{1}{2} \quad \text{d'où} \quad v_s = 2u.$$

En combinant,

$$u - R_N i = 2u \quad \text{soit} \quad u = -R_N i$$

Comme sont orientés en convention récepteur, on a bien équivalence avec une loi d'Ohm d'une résistance négative.

Il est très important de mentionner la convention : la loi d'Ohm d'une résistance « normale » orientée en convention générateur s'écrit elle aussi $u = -Ri$.

3 L'ALI est idéal donc $i_- = i_+ = 0$. La loi d'Ohm appliquée d'une part à la résistance R_N et d'autre part à la résistance R dessinée horizontalement sur l'énoncé donne

$$u - v_s = R_N i \quad \text{et} \quad v_s - u = R i_R,$$

ce qui permet d'en déduire

$$i_R = -\frac{R_N}{R}i.$$

La différence provient du courant de sortie de l'ALI, qui est inconnu a priori (et qui n'a aucune raison d'être tout le temps nul, et ne peut même jamais l'être dans le montage). Comme le courant de sortie du montage à résistance négative est également i (évident vu le circuit complet), on en déduit qu'une partie du courant part dans le fil connecté à la masse.

C'est une remarque très générale : le fait de placer la masse à un endroit d'un circuit à ALI a un effet sur les tensions, mais aussi sur les intensités, la masse peut toujours « faire disparaître » ou « créer » un courant qu'on ne peut pas connaître a priori, et qui n'a aucune raison d'être nul.

4 En orientant tous les dipôles en convention récepteur, la loi des mailles donne

$$u + u_C + u_L + u_0 = 0$$

Il faut dériver pour utiliser la loi de comportement du condensateur, et on obtient alors

$$-R_N \frac{di}{dt} + \frac{i}{C} + L \frac{d^2i}{dt^2} + R_0 \frac{di}{dt} = 0,$$

ce qui devient en réorganisant

$$\frac{d^2i}{dt^2} + \frac{R_0 - R_N}{L} \frac{di}{dt} + \frac{1}{LC}i = 0.$$

La stabilité des solutions dépend du signe de $R_0 - R_N$:

- ▷ si $R_0 > R_N$ alors les solutions sont stables et les oscillations de l'intensité s'amortissent au cours du temps ;
- ▷ si $R_0 = R_N$ alors les oscillations sont harmoniques et leur amplitude demeure constante au cours du temps ;
- ▷ si $R_0 < R_N$ alors les solutions de l'équation sont instables et l'amplitude des oscillations croît au cours du temps ... mais pas indéfiniment : elle finit par saturer lorsque $v_s = \pm V_{\text{sat}}$ auquel cas l'équation différentielle obtenue n'est plus valable car l'ALI passe en régime saturé et le montage change de comportement.

Annales de concours

Exercice 7 : Filtre en peigne de fréquence

[oral banque PT | ⚡ 2 | ⚡ 2]

1 Considérons en entrée de la ligne le signal

$$\underline{U}_S = U_0 e^{j\omega t}.$$

En sortie,

$$\underline{U}_B = \underline{H}_L \underline{U}_S = U_0 e^{-j\omega\tau} e^{j\omega t} \quad \text{soit} \quad \underline{U}_B = U_0 e^{j\omega(t-\tau)}.$$

Ainsi, le signal de sortie est égal au signal d'entrée décalé d'une durée τ : le phénomène physique mis en jeu est donc la propagation du signal dans la ligne à retard, qui nécessite une durée τ .

2 Raisonnons sur l'ALI dessiné à droite du schéma. Par un pont diviseur de tension,

$$\frac{\underline{V}_+}{\underline{U}_B} = \frac{R_0}{R_0 + R_0} \quad \text{soit} \quad \underline{V}_+ = \frac{1}{2} \underline{U}_B.$$

De même,

$$\frac{\underline{V}_-}{\underline{U}_D} = \frac{R}{R + \beta R} \quad \text{soit} \quad \underline{V}_- = \frac{1}{1 + \beta} \underline{U}_D.$$

L'ALI fonctionne en régime linéaire, donc $\underline{V}_+ = \underline{V}_-$ soit

$$\frac{1}{2} \underline{U}_B = \frac{1}{1 + \beta} \underline{U}_D \quad \text{d'où} \quad \underline{H}_B = \frac{1 + \beta}{2} = \alpha.$$

3 Raisonnons maintenant sur l'ALI représenté à gauche du schéma. D'après la loi des nœuds en termes de potentiel,

$$\frac{U_E - V_+}{R} + \frac{U_D - V_+}{R} = 0 \quad \text{d'où} \quad \underline{V}_+ = \frac{U_E + U_D}{2}$$

Par un pont diviseur de tension,

$$\underline{V}_- = \frac{U_S}{2}.$$

L'ALI fonctionnant en régime linéaire,

$$\frac{U_E + U_D}{2} = \frac{U_S}{2} \quad \text{soit} \quad \underline{U}_S = \underline{U}_E + \underline{U}_D.$$

Or d'après les questions précédentes,

$$\underline{U}_D = \alpha \underline{U}_B = \alpha e^{-j\omega\tau} \underline{U}_S$$

si bien que l'équation devient

$$(1 - \alpha e^{-j\omega\tau}) \underline{U}_S = \underline{U}_E$$

et finalement

$$\underline{H} = \frac{\underline{U}_S}{\underline{U}_E} = \frac{1}{1 - \alpha e^{-j\omega\tau}}.$$

4 D'après ce qui précède,

$$\underline{H}(j\omega) = \frac{1}{1 - \alpha \cos(\omega\tau) - j\alpha \sin(\omega\tau)}$$

ce qui donne

$$|\underline{H}(j\omega)|^2 = \frac{1}{(1 - \alpha \cos(\omega\tau))^2 + (\alpha \sin(\omega\tau))^2} = \frac{1}{1 - 2\alpha \cos(\omega\tau) + \alpha^2 \cos^2(\omega\tau) + \alpha^2 \sin^2(\omega\tau)}$$

ce qui se simplifie en

$$|\underline{H}(j\omega)|^2 = \frac{1}{1 + \alpha^2 - 2\alpha \cos(\omega\tau)}.$$

Le maximum est atteint lorsque $\cos(\omega\tau) = +1$, soit

$$H_{\max}^2 = \frac{1}{1 + \alpha^2 - 2\alpha} = \frac{1}{(1 - \alpha)^2} \quad \text{d'où} \quad H_{\max} = \frac{1}{1 - \alpha}.$$

Le minimum est atteint lorsque $\cos(\omega\tau) = -1$, soit

$$H_{\min}^2 = \frac{1}{1 + \alpha^2 + 2\alpha} = \frac{1}{(1 + \alpha)^2} \quad \text{d'où} \quad H_{\min} = \frac{1}{1 + \alpha}.$$

Le cosinus étant 2π -périodique, la période Ω du peigne de fréquence est telle que

$$(\omega + \Omega)\tau = \omega\tau + 2\pi \quad \text{soit} \quad \Omega\tau = 2\pi \quad \text{donc} \quad \Omega = \frac{2\pi}{\tau}.$$

Pour le calcul de la bande passante, commençons par calculer la plus petite pulsation ω_c pour laquelle $|\underline{H}| = H_{\max}/\sqrt{2}$, telle que

$$\frac{1}{1 + \alpha^2 - 2\alpha \cos(\omega_c\tau)} = \frac{1}{2(1 - \alpha)^2}$$

On en déduit

$$1 + \alpha^2 - 2\alpha \cos(\omega_c\tau) = 2 - 4\alpha + 2\alpha^2 \quad \text{soit} \quad -2\alpha \cos(\omega_c\tau) = 1 - 4\alpha + \alpha^2 \quad \text{d'où} \quad \cos(\omega_c\tau) = \frac{4\alpha - 1 - \alpha^2}{2\alpha}$$

et ainsi

$$\omega_c = \frac{1}{\tau} \arccos \frac{4\alpha - 1 - \alpha^2}{2\alpha}.$$

On en déduit la bande passante, $\Delta\omega = 2\omega_c$, donnée par

$$\Delta\omega = \frac{2}{\tau} \arccos \frac{4\alpha - 1 - \alpha^2}{2\alpha}.$$

5 En première approximation, ce filtre laisse passer toutes les harmoniques de fréquence multiples $\Omega/2\pi$ et coupe les autres. Hors le signal d'intérêt est périodique de période T , donc de fréquence $1/T$, si bien que toutes ses composantes de Fourier ont des fréquences multiples de $1/T$. Pour que le filtre transmette ces composantes en éliminant le bruit donc les fréquences sont différentes, il faut avoir

$$\frac{\Omega}{2\pi} = \frac{1}{T} \quad \text{soit} \quad \frac{2\pi/\tau}{2\pi} = \frac{1}{T} \quad \text{d'où} \quad \tau = T.$$

Exercice 8 : Démodulateur à déphasage

[oral banque PT | 💡 3 | ✂ 2]

1 Un ALI idéal se caractérise par

- ▷ une impédance d'entrée infinie, donc des courants de polarisation nuls ;
- ▷ une impédance de sortie nulle, donc un courant de sortie indépendant de la tension de sortie ;
- ▷ une saturation éventuelle de la tension de sortie ($V_{\text{sat}} \simeq 15 \text{ V}$) et du courant de sortie ($i_{\text{sat}} \simeq 40 \text{ mA}$).

On peut également supposer son gain infini, et un slew rate infini.

L'ALI présent dans le système possède une rétroaction sur sa borne \ominus , il fonctionne donc probablement en **régime linéaire**.

2 Par la loi des nœuds en potentiel,

$$\frac{U_e - V_-}{R} + \frac{U_1 - V_-}{R} = 0 \quad \text{soit} \quad \underline{V_-} = \frac{U_1 + U_e}{2}.$$

Par un pont diviseur de tension,

$$\frac{V_+}{U_e} = \frac{1/jC_1\omega}{R_1 + 1/jC_1\omega} = \frac{1}{1 + jR_1C_1\omega} \quad \text{donc} \quad \underline{V_+} = \frac{1}{1 + jR_1C_1\omega} U_e.$$

L'ALI fonctionnant en régime linéaire, $\underline{V_-} = \underline{V_+}$, donc

$$\frac{U_1 + U_e}{2} = \frac{1}{1 + jR_1C_1\omega} U_e \quad \text{soit} \quad \underline{U_1} = \frac{2}{1 + jR_1C_1\omega} U_e - U_e$$

d'où

$$\underline{H_1} = \frac{1 - jR_1C_1\omega}{1 + jR_1C_1\omega}.$$

La fonction de transfert $\underline{H_1}$ est le quotient de deux nombres complexes conjugués, donc de même module : on en déduit directement

$$\forall \omega, \quad |\underline{H_1}| = 1.$$

L'argument est donné par

$$\arg \underline{H_1} = \arg(1 - jR_1C_1\omega) - \arg(1 + jR_1C_1\omega) = \arctan \frac{-R_1C_1\omega}{1} - \arctan \frac{R_1C_1\omega}{1}$$

On en conclut

$$\arg \underline{H_1} = -2 \arctan(R_1C_1\omega).$$

3 Comme $|\underline{H_1}| = 1$, alors u_e et u_1 sont toujours de même amplitude. La condition porte donc sur le déphasage : on cherche ω_0 tel que

$$\arg \underline{H_1}(\omega_0) = -2 \arctan(R_1C_1\omega_0) = -\frac{\pi}{2} \quad \text{soit} \quad \arctan(R_1C_1\omega_0) = \frac{\pi}{4}$$

et comme $\tan(\pi/4) = 1$, il vient

$$\omega_0 = \frac{1}{R_1C_1}.$$

4 La loi de comportement du multiplieur s'écrit ici

$$u_2(t) = K u_e(t) u_1(t).$$

Posons $\varphi_1(\omega) = -2 \arctan(R_1C_1\omega)$: d'après ce qui précède,

$$u_1(t) = A \cos(\omega t + \varphi_1).$$

On en déduit

$$\begin{aligned} u_2(t) &= K A^2 \cos(\omega t) \cos(\omega t + \varphi_1) \\ &= \frac{K A^2}{2} [\cos(2\omega t + \varphi_1) + \cos(\varphi_1)] \end{aligned}$$

$$u_2(t) = \frac{K A^2}{2} \cos(\varphi_1) + \frac{K A^2}{2} \cos(2\omega t + \varphi_1).$$

5 Si $\omega = \omega_0$, alors par définition $\varphi_1 = -\pi/2$ et donc

$$u_2(t) = \frac{KA^2}{2} \cos\left(2\omega_0 t - \frac{\pi}{2}\right)$$

La fonction de transfert de l'association R_2, C_2 vaut

$$\underline{H}_2 = \frac{1/jC_2\omega}{R_2 + 1/jC_2\omega} = \frac{1}{1 + jR_2C_2\omega},$$

ce qui donne

$$|\underline{H}_2| = \frac{1}{\sqrt{1 + (R_2C_2\omega)^2}} \quad \text{et} \quad \varphi_2 = \arg \underline{H}_2 = -\arctan(R_2C_2\omega).$$

On a donc

$$u_s(t) = \frac{1}{\sqrt{1 + (2R_2C_2\omega_0)^2}} \cos\left(2\omega_0 t - \frac{\pi}{2} - \arctan(2R_2C_2\omega_0)\right)$$

La tension u_s est harmonique, donc pour qu'elle soit constante il faut que son amplitude soit nulle. Le filtre étant passe-bas, il faut que la pulsation $2\omega_0$ soit bien supérieure à la pulsation de coupure du filtre, soit

$$2\omega_0 \gg \frac{1}{R_2C_2} \quad \text{soit} \quad \frac{2}{R_1C_1} \gg \frac{1}{R_2C_2} \quad \text{d'où} \quad C_2 \gg \frac{R_1C_1}{2R_2}.$$

6 Pour la tension d'entrée proposée, le déphasage φ_1 en sortie de l'ALI vaut

$$\varphi_1 = -2 \arctan[R_1C_1(\omega_0 + \Delta\omega)] = -2 \arctan\left(1 + \frac{\Delta\omega}{\omega_0}\right)$$

car $R_1C_1\omega_0 = 1$. Par un développement limité autour de $x = 1$, sachant que $\arctan'(x) = 1/(1+x^2)$,

$$\varphi_1 \simeq -\frac{\pi}{2} - \frac{2}{1+1^2} \frac{\Delta\omega}{\omega_0} = -\frac{\pi}{2} - \frac{\Delta\omega}{\omega_0}.$$

Le terme de fréquence double de la tension u_2 sera coupé par le filtre passe-bas, en revanche comme cette fois $\varphi_1 \neq \pi/2$, la tension de sortie sera non nulle, égale à

$$U_s = \frac{KA^2}{2} \cos(\varphi_1) = \frac{KA^2}{2} \sin\left(-\frac{\Delta\omega}{\omega_0}\right)$$

et comme $\Delta\omega \ll \omega_0$, un développement limité donne

$$U_s = -\frac{KA^2}{2} \frac{\Delta\omega}{\omega_0}.$$

La mesure de $\Delta\omega$ est donc possible à partir de celle de la tension de sortie.

Le calcul que je propose ci-dessus me semble bien trop difficile pour être celui attendu lors d'un oral de banque PT ... mais je ne vois pas comment faire autrement pour répondre à la question !

Exercice 9 : Filtre de Sallen-Key

[oral banque PT | ⚡ 3 | ⚡ 3]

1 Dans la limite des hautes fréquences, le condensateur est équivalent à un fil donc $V_{\oplus} = 0$. L'ALI étant idéal, $V_{\ominus} = V_{\oplus}$ et comme $\underline{S} = V_{\ominus}$ (fil) alors

$$\underline{S} = 0 \quad (\text{limite THF}).$$

Dans la limite des basses fréquences, le condensateur est équivalent à un interrupteur ouvert. Comme l'ALI est idéal, aucun courant n'entre dans la borne \oplus donc aucun courant ne peut traverser les deux résistances. On a donc $V_{\oplus} = \underline{E}$, d'où on déduit par le même raisonnement que

$$\underline{S} = \underline{E} \quad (\text{limite TBF}).$$

Il s'agit donc d'un **filtre passe-bas**.

2 Notons A le nœud commun aux deux résistances et au condensateur. La loi des nœuds en termes de potentiel appliquée à l'entrée \oplus de l'ALI donne

$$\frac{0 - V_{\oplus}}{1/jC_2\omega} + \frac{V_A - V_{\oplus}}{R} = 0.$$

Comme $V_{\oplus} = V_{\ominus} = \underline{S}$,

$$-jC_2\omega \underline{S} + \frac{V_A - \underline{S}}{R} = 0$$

ou encore

$$V_A = (1 + jRC\omega)\underline{S}. \quad (1)$$

La loi des nœuds en termes de potentiel appliquée maintenant au nœud A donne

$$\frac{\underline{E} - V_A}{R} + \frac{V_{\oplus} - V_A}{R} + \frac{\underline{S} - V_A}{1/jC\omega} = 0.$$

Comme $V_{\oplus} = V_{\ominus} = \underline{S}$,

$$[\underline{E} - V_A] + [\underline{S} - V_A] + jRC\omega [\underline{S} - V_A] = 0. \quad (2)$$

En insérant l'équation (1) dans l'équation (2), on obtient

$$[\underline{E} - (1 + jRC\omega)\underline{S}] + [-jRC\omega\underline{S}] + jRC\omega [-jRC\omega\underline{S}] = 0,$$

puis

$$\underline{E} - (1 + 2jRC\omega - R^2C^2\omega^2) \underline{S} = 0$$

ce qui permet finalement d'aboutir à

$$\underline{H} = \frac{\underline{S}}{\underline{E}} = \frac{1}{1 + 2jRC\omega - R^2C^2\omega^2}.$$

La pulsation caractéristique du filtre est $\omega_0 = 1/RC$.

3 Limite très basse fréquence $\omega \ll \omega_0$:

$$\underline{H} \sim \frac{1}{1} \quad \text{donc} \quad G_{\text{dB}} = 20 \log |\underline{H}| \sim 0.$$

Limite très haute fréquence $\omega \gg \omega_0$:

$$\underline{H} \sim \frac{1}{-R^2C^2\omega^2} \quad \text{donc} \quad G_{\text{dB}} \sim -20 \log (R^2C^2\omega^2) = -40 \log \omega - 40 \log RC,$$

ce qui donne une asymptote de pente -40 dB/décade. Enfin, en $\omega = \omega_0$ on a

$$\underline{H} = \frac{1}{2j} \quad \text{soit} \quad G_{\text{dB}} = -20 \log 2 = -6 \text{ dB}.$$

On en déduit le diagramme de Bode représenté figure 5.

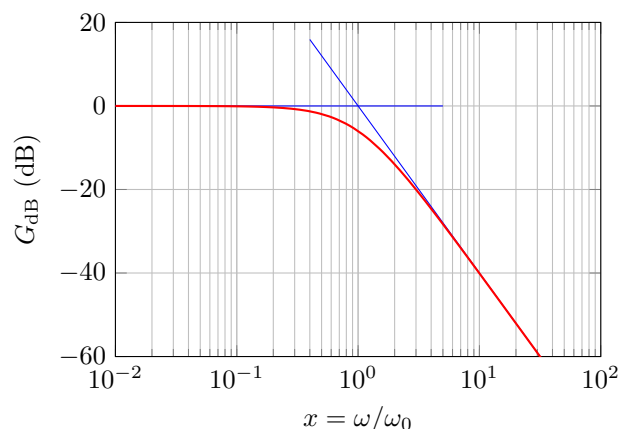


Figure 5 – Diagramme de Bode du filtre de Sallen-Key.

4 Le signal créneau se caractérise par un spectre assez étendu du côté des hautes fréquences.

- ▷ Si la fréquence f du créneau est nettement inférieure à f_0 , seule la partie très haute fréquence du spectre est filtrée : le signal de sortie a la même allure que le signal d'entrée hormis au niveau des sauts du créneau, où l'influence des hautes fréquences est prépondérante.
- ▷ Si f est du même ordre que f_0 , alors l'allure du signal est nettement modifiée par le filtre mais l'atténuation n'est que moyennement marquée.
- ▷ Si $f \gg f_0$, le signal est modifié et très atténué : il est presque complètement coupé.

Exercice 10 : Amplificateur inverseur, modèle du premier ordre [oral banque PT | 💡 3 | ✂️ 3]

1 L'ALI étant idéal, le même courant traverse les résistances R_1 et R_2 . Ainsi,

$$\frac{V_e - V_{\ominus}}{R_1} = \frac{V_{\ominus} - V_s}{R_2} \quad \text{soit} \quad \frac{V_e}{R_1} = -\frac{V_s}{R_2}$$

puisque $V_{\ominus} = V_{\oplus} = 0$. Finalement,

$$\underline{H} = -\frac{R_2}{R_1}.$$

Le courant d'entrée dans le montage vaut $I_e = (V_e - V_{\ominus})/R_1 = V_e/R_1$, d'où

$$\underline{Z_e} = \frac{V_e}{I_e} = R_1.$$

2 Le gain statique de l'ALI vaut $\mu_0 \sim 1 \cdot 10^5$. Les fréquences usuelles en électronique peuvent aller jusqu'à 1 MHz, et sont en général très supérieures à la fréquence de coupure de l'ALI.

3 La tension d'entrée ε ne peut plus être supposée nulle. Le courant d'entrée du montage traverse toujours les deux résistances, donc

$$\frac{V_e - V_{\ominus}}{R_1} = \frac{V_{\ominus} - V_s}{R_2}$$

avec cette fois $V_{\ominus} = -\varepsilon = -V_s/\mu$, d'où

$$\begin{aligned} R_2 \left(V_e + \frac{V_s}{\mu} \right) &= R_1 \left(-\frac{V_s}{\mu} - V_s \right) \\ R_2 V_e &= -R_1 \left(\frac{V_s}{\mu} + V_s \right) - R_2 \frac{V_s}{\mu} \\ R_2 V_e &= -(R_1 + R_2) \frac{V_s}{\mu} - R_1 V_s \\ \frac{R_2}{R_1 + R_2} V_e &= - \left(\frac{1}{\mu} + \frac{R_1}{R_1 + R_2} \right) V_s \\ \frac{V_s}{V_e} &= \frac{-\frac{R_2}{R_1 + R_2}}{\frac{1}{\mu} + \frac{R_1}{R_1 + R_2}} \\ \frac{V_s}{V_e} &= \frac{-\frac{R_2}{R_1 + R_2}}{\frac{1}{\mu} + \frac{R_1}{R_1 + R_2}} \\ \frac{V_s}{V_e} &= \frac{-\frac{R_2}{R_1 + R_2}}{\frac{1}{\mu_0} + j \frac{\omega}{\mu_0 \omega_c} + \frac{R_1}{R_1 + R_2}} \end{aligned}$$

On peut alors identifier la forme canonique,

$$\underline{H}' = \frac{-\frac{R_2}{R_1 + R_2} \times \frac{1}{\frac{1}{\mu_0} + \frac{R_1}{R_1 + R_2}}}{1 + j \frac{\omega}{\mu_0 \omega_c} \times \frac{1}{\frac{1}{\mu_0} + \frac{R_1}{R_1 + R_2}}}$$

On identifie alors le gain maximal,

$$\underline{H_0} = -\frac{R_2}{R_1 + R_2} \times \frac{1}{\frac{1}{\mu_0} + \frac{R_1}{R_1 + R_2}} \simeq -\frac{R_2}{R_1 + R_2} \times \frac{1}{\frac{R_1}{R_1 + R_2}} = -\frac{R_2}{R_1}$$

si $\mu_0 \gg (R_1 + R_2)/R_1$, et la pulsation de coupure

$$\omega'_c = \mu_0 \omega_c \times \left(\frac{1}{\mu_0} + \frac{R_1}{R_1 + R_2} \right) = \omega_c \times \left(1 + \frac{\mu_0 R_1}{R_1 + R_2} \right) \simeq \frac{\omega_c \mu_0 R_1}{R_1 + R_2}.$$

4 On constate que la rétroaction diminue fortement le gain et élargit la bande passante d'autant.